

III-17 川内川における塩分侵入に関する研究

九州大学 応用力学研究所 正員 篠原 謹彌
 九州大学 工学部 正員 猪東一郎
 九州大学 応用力学研究所 正員 遠藤 治郎
 建設省 土木研究所 正員 浦勝

川内川は河床勾配が極めて緩和から上に潮差が大きいために感潮区間の水位と大きさは混合型河川である。河口から 10.6 km の中越バルブ工業 KK 取水口では Cl^- の連続観測が行なわれている。われわれはこれらの資料から塩分侵入に関する諸因子について検討し、これに最近実施された詳しい塩分分布調査から塩分拡散の水理特性について若干の考察を行なった。

1. 塩分と潮汐および河川固有流量との関係

Cl^- 観測資料から、各潮汐との最高塩素イオン濃度、河川固有流量 Q_* 、潮位との月間変化を示したもののが図-1である。これから $Q_* = 43 \text{ m}^3/\text{sec}$ の場合には大潮時に高い塩素イオン濃度が検出され、 Cl^- と潮位との間に高い相関が認められる。また 3 月 22 日の大潮においては出水による Q_* の増加によく海水による Cl^- の侵入は認められないのに河川固有流量も Cl^- の逆上がり影響する重要な因子であることが知られる。

また、 Q_* の変化が Cl^- にみよぼす履歴現象は数回の潮汐によく消失する程度と考えられ、各潮汐における最大塩素イオノン濃度は 13.4 m の時の潮位と河川流量に関係あるとみなしてよろしくある。

図-2 は昭和 36 年から 38 年までの 3 年間の記録から潮位とパラメータとして各潮最大の塩素イオン濃度と河川流量との相関を示したものである。 Cl^- の履歴値はかなり大きい影響を及ぼすけれども、(1) 潮位に応じて塩分の侵入がまことに認められる、よしに逆さに、流量 Q_* が存在し、この値は潮位の減少とともに小さくなること、(2) 大潮および干潮においては、流量が Q_{kc} より減少すると Cl^- の値はわずかに増加するに過ぎないが、潮位に応じて決められた流量 Q_{kc} よりも小さな流量では Cl^- の増加が極めて顕著であること、(3) 小潮においては低流量でも Cl^- の著しい侵入は認められないことなどがわかる。

2. 塩分濃度の時間的・距離的变化

図-3 は大潮時満潮 1 時間前に干潮停留時にわたって、河川に下って 1 km おきに測定された塩分濃度の変化を示したものであり、同図には小潮時にはみよ

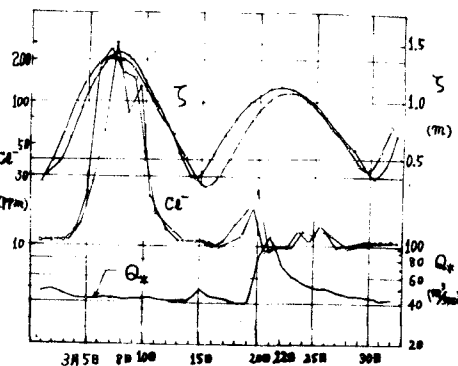


図-1

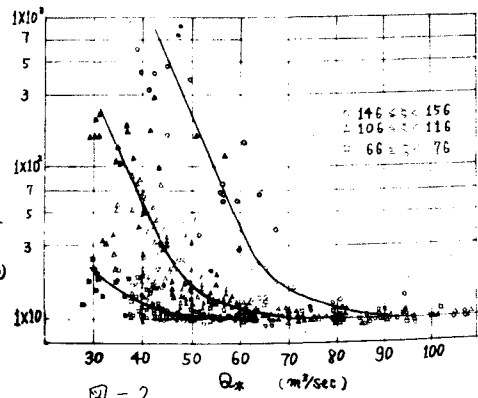


図-2

塩分濃度を記してある。満潮時には河口より下流においては 5.5 km, 小潮時には河口より 3.7 km まで、ほど海水に近い水塊が侵入し、それより上流では塩分濃度は急激に減少して河水塩分に収斂する。上げ潮によつて侵入した塩分は落潮によつて排除され行かず、干潮停留時にあつても塩分の残留がある。一次元の塩分の拡散方程式

$$\frac{\partial S}{\partial t} + V \frac{\partial S}{\partial x} = \frac{1}{A} \frac{\partial}{\partial x} (AD \frac{\partial S}{\partial x}) \quad \dots \dots (1)$$

における流速 V は潮汐による流速 V_t と固有流速 $-u_0$ に分けられ $V = V_t - u_0$ $\dots \dots (2)$

とする。また、塩分分布の pattern が多数回の潮汐のくり返しによつて決められるものとするときの分布式は (1) 式の平均値

$$-u_0 \frac{\partial S}{\partial x} = \frac{1}{A_0} \frac{\partial}{\partial x} (A_0 D_0 \frac{\partial S}{\partial x}) \quad \dots \dots (3)$$

すなわち、 $\log \frac{S}{S_0} = - \int_0^x \frac{Q_*}{A_0 D_0} dx \quad \dots \dots (4)$

によつて決められるであつた。図-3 の満潮、干潮停留時にあつて S の分布から逆算された拡散係数 D_0 は図-4 (a) のようである。横軸の x は干潮に対する河口よりの、満潮時は河口よりの海水の侵入点からの距離である。これより D_0 の値は満潮時と干潮時とで大きな差異がみられず、潮位差にもあまり関係がないようである。

D_0 の値は上流に行くにつれて減少するが、この値は $100 \text{ m}^3/\text{sec}$ の order であり普通の河川の拡散係数にくらべ非常に大きい。

混合型河川の塩分拡散係数については、最近 Harleman が密度流に人工的な乱れを与えた実験から Delaware estuary について次式を導いている。

$$D_0 = K \left(\frac{S Q_*}{A_0} \right)^{1/4} \quad \dots \dots (5)$$

$$-Q_*^{1/4} \int_0^x A^{-1/4} dx = K \int_0^x S^{-1/4} dS \quad \dots \dots (6)$$

川内川について上式から K を逆算した結果は図-4(b) に示されている。

以上により、なお検討すべき点は多いが、取水口はおつて採水された Cl^- における潮位および河川固有流量の影響は、潮汐は主として生のまゝの海水が侵入する限界点を決め、 Q_* はそれより上流の濃度減少部の勾配をきめる役割をもつてみるとよいよう。

この調査に当つて、中越バルフ工業株式会社、建設省、鹿児島大学など多大の援助をうけたことを記し謝意を表す。

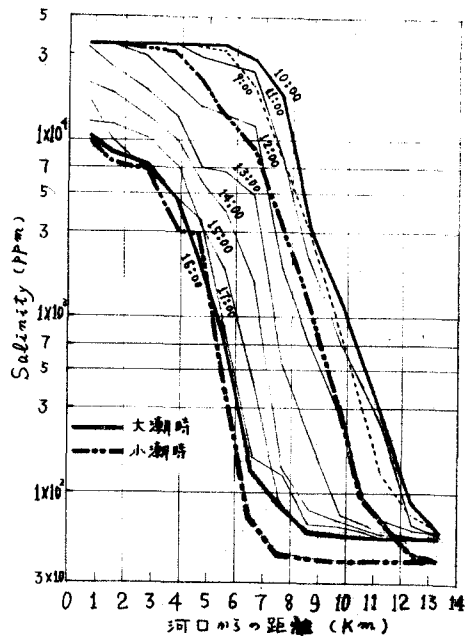


図-3

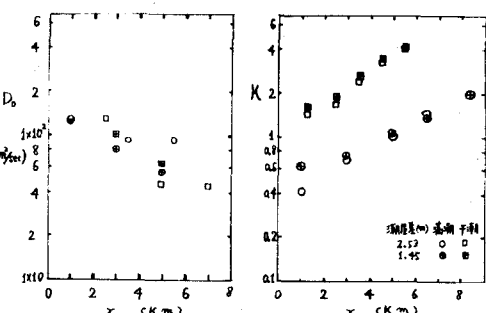


図-4 (a)

(b)